

# エア-モルタルの側面拘束による収縮応力について

岐阜大学 正 大英文彦  
 " 学 〇 森本 啓昭

## 1. まえがき

fig-1 に示すような側面拘束されたコンクリート部材に於て、収縮応力についての検討を行なう場合、たとえ部材中の収縮ひずみ分布が一律であると仮定することが可能であっても、側面において拘束をうける為に発生する拘束による収縮応力についての考慮をばらわなければならない。この場合、問題となるのは、拘束面に発生するセ-ン断応力の分布であり、これについて、セ-ン断応力の分布は fig-1 に示すように部材の端面近くに極大値を持つ山形分布をすることが知られている。

しかし、その極大値と極小値と与えるのは、種々の因子により影響をうけ、また現段階においては、これを直接、実験的に求めることは非常に困難である。そこで筆者らは、極大値と与えるのは部材の端面近くの任意点と接んでよいことにし、また極大値(最大セ-ン断応力)  $T_{max}$  は、同じ物理的境界条件におかれた無拘束の部材と、拘束をうける部材との収縮ひずみの比をもってあらわすことにした。

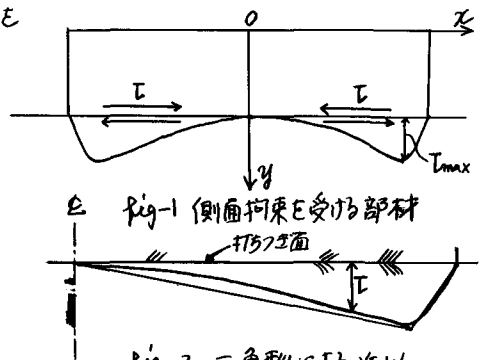
$$T_{max} = k S_n E \quad \text{--- ①} \quad k (< 1) : \text{定数(拘束度)}$$

$$k = \frac{S_n - S_r}{S_n} \quad \text{--- ②} \quad S_n : \text{無拘束部材のひずみ}$$

$$S_r : \text{拘束部材の収縮ひずみ}$$

そしてセ-ン断応力の分布を拘束面を底辺として  $T_{max}$  の値を高さとする三角形で近似させた。(fig-2)

なお、本研究に於ては、厚さの薄いエア-モルタル部材が、非常に剛なる部材に打ちつがれ、それにより側面において拘束を受け時に発生する収縮応力について検討を行なった。なお、部材中の収縮ひずみは全断面一律であると仮定した。



## 2. 試験方法

### 2-1. 使用材料, 示才配合

セメントは普通ポルトランドセメント, 砂は揖斐川産川砂, 比重 2.65, F.M. 2.68, 最大寸法 2.5mm のものを使用した。使用したエア-モルタルの示才配合は表-1 に示す。

### 2-2. 供試体

供試体寸法は fig-3 に示す。供試体は表-1 に示す配合について、打ちつぎ面の滑らかなもの、打ちつぎ面を荒したものの、無拘束で同じ物理的境界条件におかれたもの、以上の種類を作成した。各供試体においては、打ちつぎ部のごく近くに収縮ひずみ測定用のゲージプラグを設けた。各供試体は打ち込み後、E.R. に相対湿度 40~44%, 室温 20±1℃ の恒温室に設置した。fig-4 に試験供試体の種類を示す。

表-1 エア-モルタルの示才配合

W/C (%)	S/C	AE/C (%)	空気量 (%)
55	1	0.2	23~25

なお、本研究においては、この問題を解打するにあたり平面応力の問題として取り扱った。

### 3. 解析方法

側面K面内せん断力E受ける板の応力解析問題は

$$\sigma_x = \frac{\partial^2 \phi}{\partial y^2}, \quad \sigma_y = \frac{\partial^2 \phi}{\partial x^2}, \quad \tau_{xy} = -\frac{\partial^2 \phi}{\partial x \partial y} \quad \text{--- ③}$$

なる応力関数Eを導入すると

$$\frac{\partial^4 \phi}{\partial x^4} + 2 \frac{\partial^4 \phi}{\partial x^2 \partial y^2} + \frac{\partial^4 \phi}{\partial y^4} = 0 \quad \text{--- ④}$$

④式を満足し、かつ境界条件Eを満たす応力関数中Eを求め問題を帰する。本研究に於ては差分法により④式を解くこととした。④式を差分表示すると次式が得られる。

$$20\phi_0 - 8(\phi_1 + \phi_2 + \phi_4) + 2(\phi_6 + \phi_8 + \phi_{10} + \phi_{12}) + \phi_5 + \phi_7 + \phi_9 + \phi_{11} = 0 \quad \text{--- ⑤}$$

次に打ちつぎエアーエルトル部材に fig-5 のように 3x18 メッシュの差分網を設ける。

境界における応力関数は次のように求める。

側面K面内せん断力E受ける板の応力関数をフーリエ級数K置換する。

$$\tau_{xy} = \frac{2E\epsilon_{max} l^2}{a(l-a)\pi^2} \sum_{n=1}^{\infty} \frac{\sin n\pi a/l}{n^2} \sin \frac{n\pi}{l} x \quad \text{--- ⑥}$$

①. ②式より  $\epsilon_{max} = \epsilon S_n E$  ( $\epsilon < 1$ ) とすると

$$\tau_{xy} = \frac{2\epsilon S_n E l^2}{a(l-a)\pi^2} \sum_{n=1}^{\infty} \frac{\sin n\pi a/l}{n^2} \sin \frac{n\pi}{l} x \quad \text{--- ⑦}$$

ii)  $P_x$  に於て,  $P_x = 0, P_y = 0, l = 0, m = 1$

境界条件  $\sigma_x l + \tau_{xy} m = P_x, \quad \sigma_y m + \tau_{xy} l = P_y \quad \text{--- ⑧}$

④式に③式E代入して  $\frac{\partial^2 \phi}{\partial y^2} l - \frac{\partial^2 \phi}{\partial x \partial y} m = P_x, \quad \frac{\partial^2 \phi}{\partial x^2} m - \frac{\partial^2 \phi}{\partial x \partial y} l = P_y \quad \text{--- ⑨}$

今,  $P_x$  に於ては  $l = 0, m = 1$  であるので ⑨式より

$$\frac{\partial^2 \phi}{\partial x \partial y} = 0, \quad \frac{\partial^2 \phi}{\partial x^2} = 0 \quad \text{または} \quad d\left(\frac{\partial \phi}{\partial x}\right)/dx = 0, \quad d\left(\frac{\partial \phi}{\partial y}\right)/dx = 0$$

従って,  $\frac{\partial \phi}{\partial y} = C_1, \quad \frac{\partial \phi}{\partial x} = C_2 \quad \text{--- ⑩}$

今, 境界上の応力関数は次式より求まる  $\phi_P = x \frac{\partial \phi}{\partial x} + y \frac{\partial \phi}{\partial y} - \int (x \frac{\partial^2 \phi}{\partial x \partial y} + y \frac{\partial^2 \phi}{\partial y^2}) ds \quad \text{--- ⑪}$

fig-3 供試体寸法

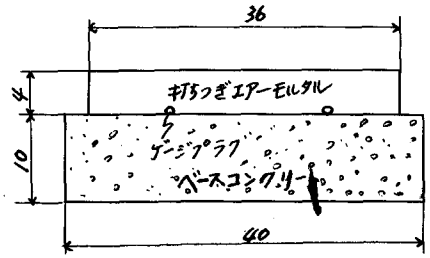


fig-4 供試体の種類

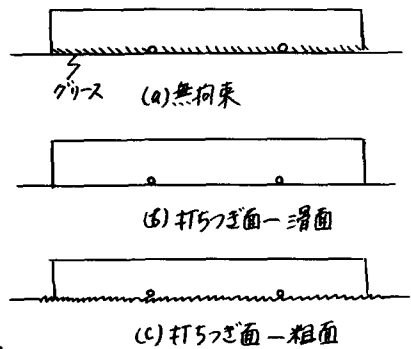
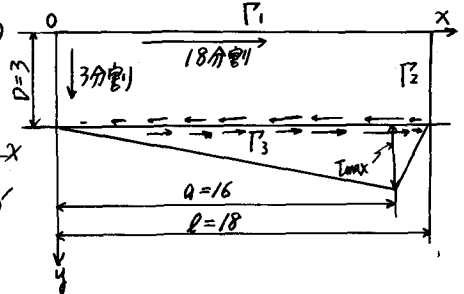


fig-5 エアーエルトル部材



4 3 森本博昭

⑩式を⑨式に代入して

$$\Phi_{P_1} = C_2 x + C_1 y - C_3 \quad \text{--- ⑩} \quad \text{と得る。}$$

今、 $C_1 = C_2 = C_3$  とすると

$$\Phi_{P_1} = 0 \quad \left(\frac{\partial \Phi}{\partial x}\right)_{P_1} = 0, \quad \left(\frac{\partial \Phi}{\partial y}\right)_{P_1} = 0 \quad \text{--- ⑪} \quad \text{と得る。}$$

ii)  $P_2$ に於て、 $P_x = 0, P_y = 0, l = 1, m = 0, ds = dy$   
前と同様とし、かつ  $P_1$  と  $P_2$  の連続条件より次式が求まる。

$$\Phi_{P_2} = 0 \quad \left(\frac{\partial \Phi}{\partial x}\right)_{P_2} = 0 \quad \left(\frac{\partial \Phi}{\partial y}\right)_{P_2} = 0 \quad \text{--- ⑫}$$

iii)  $P_3$ に於て  $ds = -dx, l = 0, m = 1$

境界上の釣り合いより  $\frac{\partial \sigma_y}{\partial y} + \frac{\partial \tau_{xy}}{\partial x} = 0$

従って  $\sigma_y = -\int \left(\frac{\partial \tau_{xy}}{\partial x}\right) dy = -D \left[ \frac{2kSnEl}{a(l-a)\pi} \sum_{n=1}^{\infty} \frac{\sin \frac{n\pi}{l} a}{n} \cos \frac{n\pi}{l} x \right] + C \quad \text{--- ⑬}$

∴  $\int_0^l \sigma_y dx = 0$  とすると ⑬式に於て  $C = 0$  と得る。

以上より  $P_x = \frac{2kSnEl^2}{a(l-a)\pi^2} \sum_{n=1}^{\infty} \frac{\sin \frac{n\pi}{l} a}{n^2} \sin \frac{n\pi}{l} x, P_y = -D \left[ \frac{2kSnEl}{a(l-a)\pi} \sum_{n=1}^{\infty} \frac{\sin \frac{n\pi}{l} a}{n} \cos \frac{n\pi}{l} x \right]$   
--- ⑭

⑭式と⑩式を代入して

$$\left(\frac{\partial \Phi}{\partial y}\right)_{P_3} = \frac{2kSnEl^3}{a(l-a)\pi^3} \sum_{n=1}^{\infty} \frac{\sin \frac{n\pi}{l} a}{n^3} \cos \frac{n\pi}{l} x + C_7, \quad \left(\frac{\partial \Phi}{\partial x}\right)_{P_3} = -D \left[ \frac{2kSnEl^2}{a(l-a)\pi^2} \sum_{n=1}^{\infty} \frac{\sin \frac{n\pi}{l} a}{n^2} \sin \frac{n\pi}{l} x \right] + C_8$$
  
--- ⑮

⑮式と⑩式を代入して

$$\begin{aligned} \Phi_{P_3} &= -D \left[ \frac{2kSnEl^2}{a(l-a)\pi^2} \sum_{n=1}^{\infty} \frac{\sin \frac{n\pi}{l} a}{n^2} \sin \frac{n\pi}{l} x \right] x + C_8 x + y \left[ \frac{2kSnEl^3}{a(l-a)\pi^3} \sum_{n=1}^{\infty} \frac{\sin \frac{n\pi}{l} a}{n^3} \cos \frac{n\pi}{l} x \right] \\ &+ C_7 y + \int \left[ D \left( \frac{2kSnEl}{a(l-a)\pi} \sum_{n=1}^{\infty} \frac{\sin \frac{n\pi}{l} a}{n} \cos \frac{n\pi}{l} x \right) x + \left( \frac{2kSnEl^2}{a(l-a)\pi^2} \sum_{n=1}^{\infty} \frac{\sin \frac{n\pi}{l} a}{n^2} \sin \frac{n\pi}{l} x \right) y \right] dx \\ &= D \left[ \frac{2kSnEl^3}{a(l-a)\pi^3} \sum_{n=1}^{\infty} \frac{\sin \frac{n\pi}{l} a}{n^3} \cos \frac{n\pi}{l} x \right] + C_7 y + C_8 x + C_9 \end{aligned}$$

連続条件  $\Phi_{P_2 x=l} = \Phi_{P_3 x=l}, \left(\frac{\partial \Phi_{P_3}}{\partial y}\right)_{x=l} = \left(\frac{\partial \Phi_{P_2}}{\partial y}\right)_{x=l}, \left(\frac{\partial \Phi_{P_3}}{\partial x}\right)_{x=l} = \left(\frac{\partial \Phi_{P_2}}{\partial x}\right)_{x=l}$  より

$$C_7 = -(-1)^n \frac{2kSnEl^3}{a(l-a)\pi^3} \sum_{n=1}^{\infty} \frac{\sin \frac{n\pi}{l} a}{n^3}, \quad C_8 = C_9 = 0 \quad \text{と得る。}$$

以上より

$$\Phi_{P_3} = \frac{2kSnEl^3}{a(l-a)\pi^3} D \sum_{n=1}^{\infty} \left[ \frac{\sin \frac{n\pi}{l} a}{n^3} \left( \cos \frac{n\pi}{l} x - (-1)^n \right) \right] \quad \text{--- ⑯}$$

なお仮想節点上の応力関数は次より求まる。  $\Phi = \Phi \pm \left(\frac{\partial \Phi}{\partial s}\right) \delta$  --- ⑰  
式中の積数は各式まで  $n = 20$  まで取った。

#### 4. 試験結果

Fig-6 に無拘束試体、および拘束試体二種類、計三種類の試体の側面における収縮ひずみを示す。なお、無拘束試体は、打ちつぎ部E到K打ち、1日後、直ちに脱型し拘束試体と同じベースコンクリートの上に置いておく状態にしておくものである。

Fig-7 に式(2)より計算した $k$ 値(拘束度)の値を示す。又、Fig-8, Fig-9 に打ちつぎ後、7日、10日における二種類の拘束試体の拘束面におけるセリ断応力の分布を示す。なお試体の弾性係数は  $E_7 = 5.6 \times 10^4 \text{ kg/cm}^2$ ,  $E_{10} = 6.5 \times 10^4 \text{ kg/cm}^2$  (添字は日数) である。

なお、収縮応力  $\sigma_x$ ,  $\sigma_y$ ,  $\tau_{xy}$  の計算結果、その他詳細は発表当日に述べらる。

Fig-6 各試体の収縮ひずみ

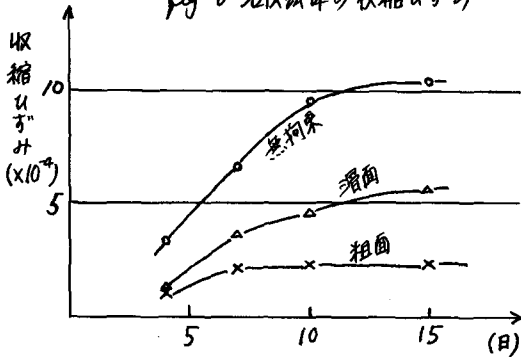


Fig-7  $k$ の値

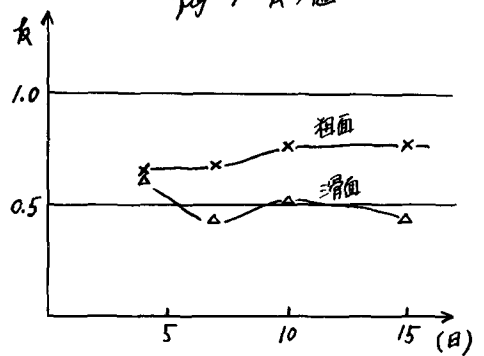


Fig-8 セリ断応力の分布 (滑面)

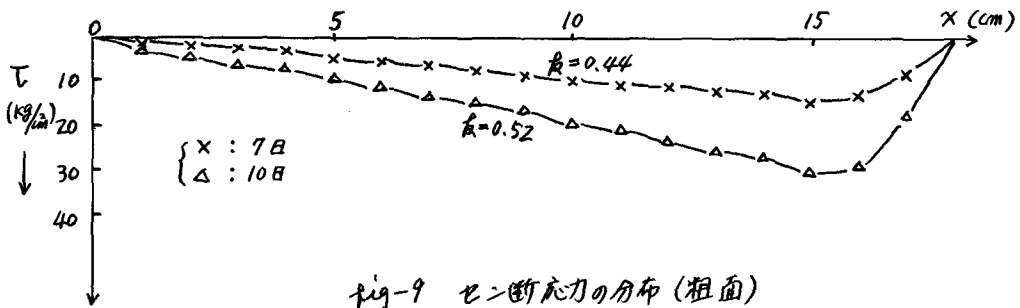


Fig-9 セリ断応力の分布 (粗面)

